

## ЧИСЛЕННЫЙ МЕТОД РЕШЕНИЯ ЗАДАЧИ ЭЛЕКТРОИМПЕДАНСНОЙ ТОМОГРАФИИ В СЛУЧАЕ КУСОЧНО-ПОСТОЯННОЙ ПРОВОДИМОСТИ И ОДНОГО ИЗМЕРЕНИЯ НА ГРАНИЦЕ\*

### Введение

Под задачей электроимпедансной томографии обычно подразумевают задачу определения коэффициента электропроводности неоднородного ограниченного тела по измерениям характеристик электрического поля на его поверхности [1]. В настоящей работе рассматривается задача электроимпедансной томографии в ограниченной двумерной области с кусочно-постоянной электрической проводимостью  $\sigma(M)$ , значения которой считаются известными. Обратная задача сводится к поиску границы, состоящей из точек разрыва функции  $\sigma(M)$ . Исходной информацией служат значения потенциала и его нормальной производной на внешней границе области.

Исследованию единственности решения этой обратной задачи посвящены работы [2]-[5]. Численные методы ее решения рассматривались в работах [6]-[12]. В данной работе предлагается численный метод решения задачи электроимпедансной томографии. Перейдем к постановке задачи.

Рассмотрим на плоскости односвязную ограниченную область  $\Omega$  с границей  $\Gamma_0$ . Пусть  $\Omega_1$  односвязная область с границей  $\Gamma_1$ , такая, что  $\overline{\Omega_1} \in \Omega$ . Кривые  $\Gamma_0$  и  $\Gamma_1$  достаточно гладкие. Обозначим через  $\Omega_0$  область  $\Omega_0 = \Omega \setminus \overline{\Omega_1}$ .

Рассмотрим следующую краевую задачу. Требуется определить функцию  $u(M)$ , такую что:  $u \in C(\overline{\Omega})$ ,  $u(M) = u_i(M)$ ,  $M \in \Omega_i$  ( $i = 0, 1$ ), где  $u_i \in C^2(\Omega_i) \cap C^1(\overline{\Omega_i})$  ( $i = 0, 1$ ),

$$\Delta u_i(M) = 0, \quad M \in \Omega_i, \quad i = 0, 1, \quad (1)$$

$$u_0(M) = u_1(M), \quad M \in \Gamma_1, \quad (2)$$

$$\sigma_0 \frac{\partial u_0(M)}{\partial n} = \sigma_1 \frac{\partial u_1(M)}{\partial n}, \quad M \in \Gamma_1, \quad (3)$$

$$u_0(M) = f(M), \quad M \in \Gamma_0. \quad (4)$$

---

\*Работа выполнена при частичной поддержке Российского фонда фундаментальных исследований (проект 11-01-00259)

Здесь  $\sigma_0, \sigma_1$  заданные положительные постоянные, а  $f(M)$  известная функция, непрерывная и не постоянная на  $\Gamma_0$ .

Сформулируем обратную задачу. Пусть в краевой задаче (1)-(4) кривая  $\Gamma_0$ , постоянные  $\sigma_0, \sigma_1$  и функция  $f(M)$  на  $\Gamma_0$  заданы, а кривая  $\Gamma_1$  неизвестна. Требуется определить  $\Gamma_1$ , если задана дополнительная информация о решении задачи (1)-(4):

$$\frac{\partial u_0(M)}{\partial n} = g(M), \quad M \in \Gamma_0, \quad (5)$$

где  $g(M)$  известная функция, непрерывная на  $\Gamma_0$ , а  $n$  — внутренняя нормаль к  $\Gamma_0$ .

В работе строится метод численного решения поставленной обратной задачи. Метод включает в себя два этапа. На первом решается задача Коши для уравнения Лапласа и находится функция

$$u_0(M) = f_2(M), \quad M \in \Gamma_2 \quad (6)$$

на вспомогательном контуре  $\Gamma_2$ , таком что  $\Gamma_2 \in \Omega_0$  и  $\Gamma_2$  содержит внутри себя контур  $\Gamma_1$ . На втором этапе с найденной функцией  $f_2(M)$  решается задача (1)-(4), (6). Иными словами, условие (5) в исходной обратной задаче заменяется на (6). Для решения задачи (1)-(4),(6) используется метод, предложенный в работе [13].

### **Нахождение значения потенциала на вспомогательном контуре**

Рассмотрим односвязную область  $\Omega_2$ , ограниченную снаружи контуром  $\Gamma_0$  и изнутри контуром  $\Gamma_2$ . Функция  $u_0(M)$  в области  $\Omega_2$  является решением задачи Коши для уравнения Лапласа

$$\Delta u_0(M) = 0, \quad M \in \Omega_2, \quad (7)$$

$$u_0(M) = f(M), \quad M \in \Gamma_0, \quad (8)$$

$$\frac{\partial u_0(M)}{\partial n} = g(M), \quad M \in \Gamma_0. \quad (9)$$

В результате решения этой задачи определяются значения функции  $u_0(M) = f_2(M)$  на вспомогательном контуре  $\Gamma_2$ .

Перейдем к численному решению задачи (7)-(9). Численное решение задачи Коши для уравнения Лапласа рассматривалось в работах [14]-[17]. В данной работе используется метод численного решения задачи Коши для уравнения Лапласа, основанный на методе граничных интегральных

уравнений.

Для параметризации контуров  $\Gamma_0$  и  $\Gamma_2$  фиксируем полярную систему координат с центром в точке  $M_0$ , расположенной внутри кривой  $\Gamma_2$ . Пусть границы  $\Gamma_0$  и  $\Gamma_2$  задаются в этой системе координат функциями  $R(\psi) : R(\psi) \in C^2[0, 2\pi]$  и  $R_2(\psi) : R_2(\psi) \in C^2[0, 2\pi]$  соответственно.

Воспользуемся методом граничных интегральных уравнений. Применяя основную формулу Грина к функции  $u_0(M)$  из задачи (7)-(9), получим систему интегральных уравнений для функций  $f_2(M)$  и  $g_2(M)$ , которые представляют собой значения функции  $u_0(M)$  и ее нормальной производной на границе  $\Gamma_2$  соответственно.

$$\begin{aligned} \pi f(M) &= \int_{\Gamma_0} g(P) \ln \left( \frac{1}{\rho_{MP}} \right) dl_P - \int_{\Gamma_0} f(P) \frac{\partial}{\partial n_p} \ln \left( \frac{1}{\rho_{MP}} \right) dl_P + \\ &+ \int_{\Gamma_2} g_2(P) \ln \left( \frac{1}{\rho_{MP}} \right) dl_P - \int_{\Gamma_2} f_2(P) \frac{\partial}{\partial n_p} \ln \left( \frac{1}{\rho_{MP}} \right) dl_P, \quad M \in \Gamma_0, \end{aligned} \quad (10)$$

$$\begin{aligned} \pi f_2(M) &= \int_{\Gamma_0} g(P) \ln \left( \frac{1}{\rho_{MP}} \right) dl_P - \int_{\Gamma_0} f(P) \frac{\partial}{\partial n_p} \ln \left( \frac{1}{\rho_{MP}} \right) dl_P + \\ &+ \int_{\Gamma_2} g_2(P) \ln \left( \frac{1}{\rho_{MP}} \right) dl_P - \int_{\Gamma_2} f_2(P) \frac{\partial}{\partial n_p} \ln \left( \frac{1}{\rho_{MP}} \right) dl_P, \quad M \in \Gamma_2, \end{aligned} \quad (11)$$

где  $n_p$  — внутренняя нормаль в точке  $P$  к поверхности  $\Gamma_0$  или  $\Gamma_2$ .

Запишем уравнения (10), (11) в полярной системе координат. Пусть на контуре  $\Gamma_0$  точки  $M(x_m, y_m)$  и  $P(x_p, y_p)$  имеют следующие представления в полярной системе координат:  $x_m = R(\psi) \cos \psi$ ,  $y_m = R(\psi) \sin \psi$ ,  $x_p = R(\varphi) \cos \varphi$ ,  $y_p = R(\varphi) \sin \varphi$ . Аналогично на контуре  $\Gamma_2$  точки  $M(x_m, y_m)$  и  $P(x_p, y_p)$  имеют следующие представления:  $x_m = R_2(\psi) \cos \psi$ ,  $y_m = R_2(\psi) \sin \psi$ ,  $x_p = R_2(\zeta) \cos \zeta$ ,  $y_p = R_2(\zeta) \sin \zeta$ . Введем обозначения  $f(\psi) = f(R(\psi) \cos \psi, R(\psi) \sin \psi)$ ,  $g(\psi) = g(R(\psi) \cos \psi, R(\psi) \sin \psi)$ ,  $f_2(\psi) = f_2(R_2(\psi) \cos \psi, R_2(\psi) \sin \psi)$ ,  $g_2(\psi) = g_2(R_2(\psi) \cos \psi, R_2(\psi) \sin \psi)$ . Переходя в уравнениях (10), (11) к полярным координатам, получим

$$\int_0^{2\pi} H(\zeta, \psi) g_2(\zeta) d\zeta - \int_0^{2\pi} E(\zeta, \psi) f_2(\zeta) d\zeta = V(\psi), \quad 0 \leq \psi \leq 2\pi, \quad (12)$$

$$\pi f_2(\psi) + \int_0^{2\pi} J(\zeta, \psi) f_2(\zeta) d\zeta - \int_0^{2\pi} L(\zeta, \psi; r) g_2(\zeta) d\zeta = U(\psi), \quad 0 \leq \psi \leq 2\pi, \quad (13)$$

где

$$E(\zeta, \psi) = -\frac{1}{2} \sqrt{R_2^2(\zeta) + (R_2'(\zeta))^2} \times \\ \times \ln \left( R_2^2(\zeta) + R^2(\psi) - 2R_2(\zeta)R(\psi) \cos(\zeta - \psi) \right), \quad (14)$$

$$H(\zeta, \psi) = \frac{[R_2(\zeta) - R(\psi) \cos(\zeta - \psi)]R_2(\zeta) - R(\psi)R_2'(\zeta) \sin(\zeta - \psi)}{R_2^2(\zeta) + R^2(\psi) - 2R_2(\zeta)R(\psi) \cos(\zeta - \psi)}, \quad (15)$$

$$J(\zeta, \psi) = \frac{[R_2(\zeta) - R_2(\psi) \cos(\zeta - \psi)]R_2(\zeta) - R_2(\psi)R_2'(\zeta) \sin(\zeta - \psi)}{R_2^2(\zeta) + R_2^2(\psi) - 2R_2(\zeta)R_2(\psi) \cos(\zeta - \psi)}, \quad (16)$$

$$L(\zeta, \psi) = -\frac{1}{2} \sqrt{R_2^2(\zeta) + (R_2'(\zeta))^2} \times \\ \times \ln \left( R_2^2(\zeta) + R_2^2(\psi) - 2R_2(\zeta)R_2(\psi) \cos(\zeta - \psi) \right), \quad (17)$$

а функции  $V(\psi)$  и  $U(\psi)$  задаются следующим образом:

$$V(\psi) = \pi f(\psi) + \int_0^{2\pi} \frac{1}{2} \sqrt{R(\varphi) + (R'(\varphi))^2} \times \\ \times \ln \left( R^2(\varphi) + R^2(\psi) - 2R(\varphi)R(\psi) \cos(\varphi - \psi) \right) g(\varphi) d\varphi - \\ - \int_0^{2\pi} \frac{[R(\varphi) - R(\psi) \cos(\varphi - \psi)]R(\varphi) - R(\psi)R'(\varphi) \sin(\varphi - \psi)}{R^2(\varphi) + R^2(\psi) - 2R(\varphi)R(\psi) \cos(\varphi - \psi)} f(\varphi) d\varphi, \quad (18)$$

$$\begin{aligned}
U(\psi) = & - \int_0^{2\pi} \frac{1}{2} \sqrt{R(\varphi) + (R'(\varphi))^2} \times \\
& \times \ln \left( R^2(\varphi) + R_2^2(\psi) - 2R(\varphi)R_2(\psi) \cos(\varphi - \psi) \right) g(\varphi) d\varphi + \\
& + \int_0^{2\pi} \frac{[R(\varphi) - R_2(\psi) \cos(\varphi - \psi)]R(\varphi) - R_2(\psi)R'(\varphi) \sin(\varphi - \psi)}{R^2(\varphi) + R_2^2(\psi) - 2R(\varphi)R_2(\psi) \cos(\varphi - \psi)} f(\varphi) d\varphi.
\end{aligned} \tag{19}$$

Таким образом, (12) и (13) составляют систему линейных интегральных уравнений для функций  $f_2(M)$  и  $g_2(M)$ . Численное решение задачи продолжения (7)-(9) проводится следующим образом. На отрезке  $[0, 2\pi]$  вводится сетка  $\psi_i$  и сеточные аналоги  $f_2^i$  и  $g_2^i$  функций  $f_2(\psi)$  и  $g_2(\psi)$ . После замены интегралов, входящих в интегральные уравнения (12),(13), на квадратурные формулы задача нахождения  $f_2^i$  сводится к решению системы линейных алгебраических уравнений.

### Решение задачи со вспомогательным контуром

С найденной на первом этапе функцией  $f_2(\psi)$  на втором этапе решается задача (1)-(4),(6). Численный метод ее решения основан на представлении функции  $u(M)$  в виде суммы потенциалов двойного и простого слоя, построении нелинейного операторного уравнения относительно функции, задающей неизвестный контур  $\Gamma_1$ , и решении полученного уравнения итерационным процессом, на каждом шаге которого операторное уравнение линеаризуется и решается с применением регуляризации. Ниже излагаются основные принципы этого метода, подробное описание приведено в [13].

Функция  $u(M)$  представляется с помощью суммы потенциалов двойного и простого слоя.

$$u(M) = \int_{\Gamma_0} \mu(P) \frac{\partial}{\partial n_0} \ln \left( \frac{1}{\rho_{MP}} \right) dl_P + (\sigma_0 - \sigma_1) \int_{\Gamma_1} \nu(P) \ln \left( \frac{1}{\rho_{MP}} \right) dl_P. \tag{20}$$

Здесь точка  $M$  с координатами  $(x, y)$  принадлежит области  $\Omega$ , а плотности  $\mu(P), \nu(P)$  являются решениями системы интегральных уравнений Фред-

гольма второго рода:

$$\begin{aligned} & \pi\mu(M) + \int_{\Gamma_0} \mu(P) \frac{\partial}{\partial n_0} \ln \left( \frac{1}{\rho_{MP}} \right) dl_P + \\ & (\sigma_0 - \sigma_1) \int_{\Gamma_1} \nu(P) \ln \left( \frac{1}{\rho_{MP}} \right) dl_P = f(M), \quad M \in \Gamma_0, \end{aligned} \quad (21)$$

$$\begin{aligned} & \pi\nu(M) + \frac{1}{(\sigma_0 + \sigma_1)} \int_{\Gamma_0} \mu(P) \frac{\partial^2}{\partial n_1 \partial n_0} \ln \left( \frac{1}{\rho_{MP}} \right) dl_P + \\ & + \frac{(\sigma_0 - \sigma_1)}{(\sigma_0 + \sigma_1)} \int_{\Gamma_1} \nu(P) \frac{\partial}{\partial n_1} \ln \left( \frac{1}{\rho_{MP}} \right) dl_P = 0, \quad M \in \Gamma_1, \end{aligned} \quad (22)$$

где  $n_0$  и  $n_1$  внутренние нормали к кривым  $\Gamma_0$  и  $\Gamma_1$  соответственно.

Задача (1)-(4),(6) решается в предположении, что кривые  $\Gamma_0$  и  $\Gamma_2$  являются выпуклыми, а класс неизвестных кривых  $\Gamma_1$  таков, что существует фиксированная точка  $M_0$ , являющаяся общим центром звездности для кривых  $\Gamma_1$  из этого класса. Взяв точку  $M_0$  в качестве центра полярной системы координат, неизвестную кривую  $\Gamma_1$  можно задать как функцию  $r(\psi)$  полярного угла  $\psi$ . Предполагается, что  $r(\psi) \in C^2[0, 2\pi]$  и  $\|r\|_{C^2[0,2\pi]} \leq c_0$ , где  $c_0$  — фиксированная постоянная.

После перехода к полярным координатам в уравнениях (21),(22) получаем

$$\begin{aligned} & \pi\mu(\psi) + \int_0^{2\pi} N(\varphi, \psi) \mu(\varphi) d\varphi + \\ & + (\sigma_0 - \sigma_1) \int_0^{2\pi} M(\zeta, \psi; r) \nu(\zeta) d\zeta = f(\psi), \quad 0 \leq \psi \leq 2\pi, \end{aligned} \quad (23)$$

$$\begin{aligned} & \pi\nu(\psi) + \frac{1}{(\sigma_0 + \sigma_1)} \int_0^{2\pi} P(\varphi, \psi; r) \mu(\varphi) d\varphi + \\ & + \frac{(\sigma_0 - \sigma_1)}{(\sigma_0 + \sigma_1)} \int_0^{2\pi} Q(\zeta, \psi; r) \nu(\zeta) d\zeta = 0, \quad 0 \leq \psi \leq 2\pi. \end{aligned} \quad (24)$$

За представлением функций  $N(\varphi, \psi)$ ,  $M(\zeta, \psi; r)$ ,  $Q(\zeta, \psi; r)$  и  $P(\varphi, \psi; r)$

отсылаем читателя к работе [13]. Отметим, что в обозначениях этих функций подчеркивается их зависимость от других. Например, вместо  $M(\varphi, \psi)$  используется обозначение  $M(\varphi, \psi; r)$ , чтобы указать на зависимость этой функции от функции  $r$ .

Рассматривая формулу (20) при  $M \in \Gamma_2$ , учитывая дополнительное условие (6) и переходя к полярным координатам, получаем

$$\int_0^{2\pi} S(\varphi, \psi) \mu(\varphi) d\varphi + (\sigma_0 - \sigma_1) \int_0^{2\pi} T(\zeta, \psi; r) \nu(\zeta) d\zeta = f_2(\psi), \quad 0 \leq \psi \leq 2\pi. \quad (25)$$

Представления для функций  $S(\varphi, \psi)$  и  $T(\zeta, \psi; r)$  приведены в [13].

Уравнения (23), (24) и (25) определяют нелинейное операторное уравнение относительно неизвестной функции  $r(\psi)$

$$Ar = f_2. \quad (26)$$

Для вычисления функции  $(Ar)(\psi)$  при заданной  $r(\psi)$  нужно решить систему интегральных уравнений (23), (24) и определить  $\mu(\psi), \nu(\psi)$ , а затем вычислить значение интегрального оператора, стоящего в левой части уравнения (25).

Уравнение (26) решается итерационным методом. В качестве начального приближения  $r_0(\psi)$  неизвестного контура принимается окружность. Пусть  $r_n(\psi)$  функция, полученная на  $n$ -ом шаге итерационного процесса. После линеаризации уравнения (26) в окрестности функции  $r_n(\psi)$  получается линейное операторное уравнение для функции  $\rho_n(\psi)$ :

$$B[r_n] \rho_n = \hat{f}_2[r_n]. \quad (27)$$

Решением этого уравнения определяется функция  $\rho_n(\psi)$ , которая позволяет получить  $r_{n+1}(\psi)$ :

$$r_{n+1}(\psi) = r_n(\psi) + \rho_n(\psi), \quad n = 0, 1, 2, \dots \quad (28)$$

Численная реализация итерационного метода проводится следующим образом. На отрезке  $[0, 2\pi]$  вводится сетка  $\psi_i$  и сеточные аналоги  $r_n^i$  функций  $r_n(\psi)$ . Задача решения уравнения (27) сводится к решению системы линейных алгебраических уравнений для неизвестной сеточной функции  $\rho_n^i$ . Для решения полученной системы линейных алгебраических уравнений применяется метод регуляризации Тихонова. Величина параметра регуляризации согласовывается с точностью задания исходной информации и с шагом итерационного процесса  $n$ .

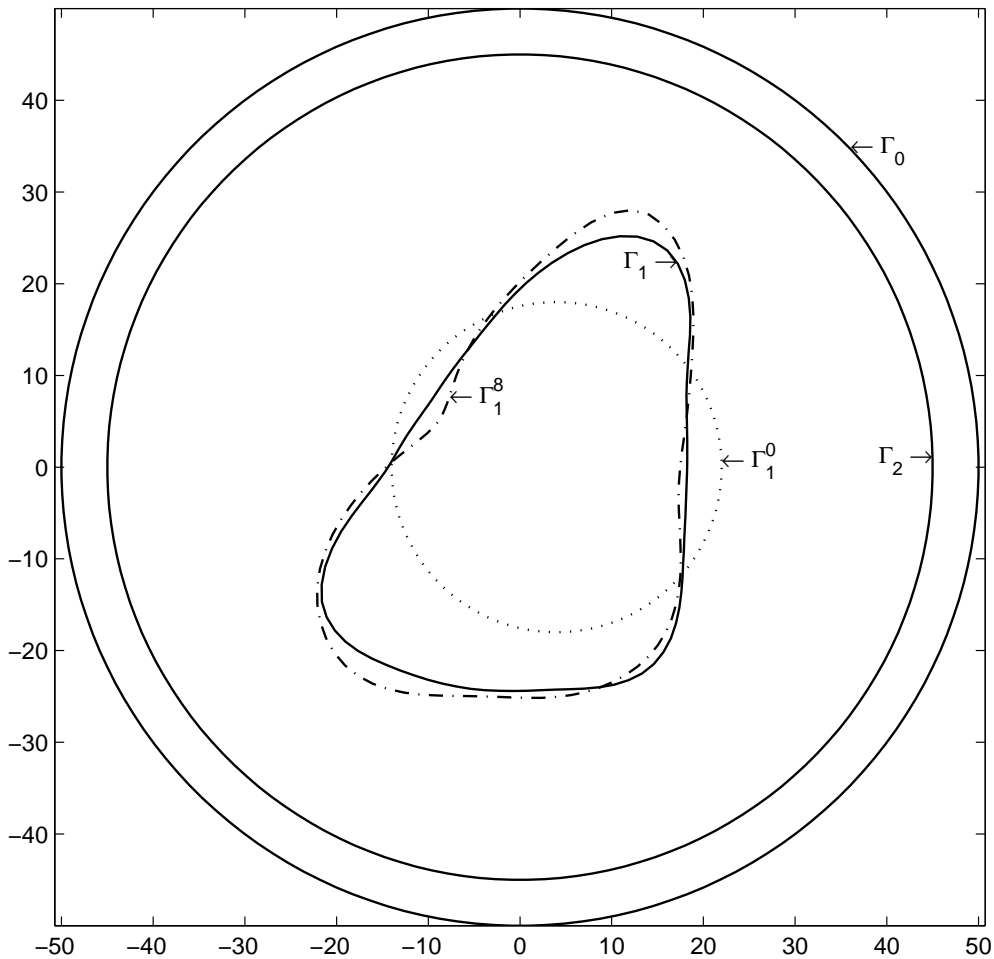


Рис. 1. Результаты вычислительного эксперимента

### Результаты вычислительного эксперимента

Рассмотрим применение предложенного двухэтапного метода для решения задачи электроимпедансной томографии (1)-(4),(5). В ходе численной реализации метода полярная система координат и сетка, на которой решается задача продолжения, согласуется с задачей со вспомогательным контуром. За центр полярной системы координат, в которой записываются уравнения (12),(13), берется точка  $M_0$ , являющаяся общим центром звездности для кривых  $\Gamma_1$ . Для численного решения задачи продолжения на отрезке  $[0, 2\pi]$  вводится сетка  $\psi_i$ , которая затем используется и для задачи со вспомогательным контуром.

В качестве примера приведем вычислительный эксперимент, в котором были выбраны следующие параметры. Контур  $\Gamma_0$  и  $\Gamma_2$  — окружности радиуса 50 и 45 соответственно,  $\sigma_0 = 3$ ,  $\sigma_1 = 1$ . Значение функции  $u(x, y)$

на  $\Gamma_0$ , заданное в полярных координатах,

$$f(\psi) = 50 \left( \exp[-4 \sin^2(\psi/2)] - \exp[-4 \cos^2(\psi/2)] \right).$$

Контур  $\Gamma_1$  представлял собой выпуклую кривую, задаваемую кубическим сплайном (см. рис. 1). Схема вычислительного эксперимента была такова. С заданными  $\Gamma_0, \Gamma_1, \sigma_0, \sigma_1$  и  $f(\psi)$  решалась задача Дирихле (1)-(4) и находилась функция  $g(\psi)$ , представляющая собой значение нормальной производной  $u(x, y)$  на контуре  $\Gamma_0$ . В эту функцию вносилась погрешность и получалась функция  $g_\delta(\psi)$ , такая что  $\|g(\psi) - g_\delta(\psi)\|_{L_2[0, 2\pi]} / \|g(\psi)\|_{L_2[0, 2\pi]} = 0,05$ . Далее с функцией  $g_\delta(\psi)$ , взятой в качестве исходных данных, численно решалась задача продолжения и находилась функция  $f_2(\psi)$ , представляющая собой значение решения задачи (7)-(9) на контуре  $\Gamma_2$ .

Затем с этой функцией  $f_2(\psi)$  итерационным методом решалась задача со вспомогательным контуром и вычислялся контур  $\Gamma_1$ . На рис. 1 приведен результат решения обратной задачи  $\Gamma_1^8$ , полученный при выборе равномерных сеток на контуре  $\Gamma_0$  в 100 узлов и на контуре  $\Gamma_1$  в 60 узлов, в результате 8-ми итераций с начальным приближением  $\Gamma_1^0$ . Критерием останова служило достижение уровня погрешности по невязке.

## Литература

- [1] Borcea L., Electrical impedance tomography, Inverse Problems. 2002. V.18. p.99-136.
- [2] Alessandrini G., Isakov V., Analyticity and uniqueness for the inverse conductivity problem, Rend. Ist. Mat. Univ. Trieste. 1996. V.28 I,II. p.351-369.
- [3] Barceo B., Fabes E., Seo J.K., The inverse conductivity problem with one measurement: uniqueness for convex polyhedra, Proc. Amer. Math. Soc. 1994. V.122-1. p.183-189.
- [4] Bellout H., Friedman A., Isakov V., Stability for an inverse problem in potential theory, Trans. Amer. Math. Soc. 1992. V.332 p.271-296.
- [5] Astala K., Paivarinta L., Calderon's inverse conductivity problem in the plane, Ann. Math. 2006. V.163. p.265-99.
- [6] Kang H., Seo J. K., Layer potential technique for the inverse conductivity problem, Inverse Problems. 1996. V.12. p.267-78.

- [7] Bruhl M., Hanke M., Numerical implementation of two noniterative methods for locating inclusions by impedance tomography, *Inverse Problems*. 2000. V.16. p.1029-42.
- [8] Bruhl M., Hanke M., Recent progress in electrical impedance tomography, *Inverse Problems*. 2003. V.19. p.65-90.
- [9] Eckel H., Kress R., Nonlinear integral equations for the inverse electrical impedance problem, *Inverse Problems*. 2007. V.23. p.475-491.
- [10] Kwon O., Seo J.K., Yoon J.R., A real-time algorithm for the location search of discontinuous conductivities with one measurement, *Comm. Pure Appl. Math.* 2002. V.55.no.1. p.1-29.
- [11] Kang, H., Seo J.K., Sheen, D., Numerical identification of discontinuous conductivity coefficients, *Inverse Problems*. 1997. V.13. p.113-23.
- [12] Денисов А.М., Захаров Е.В., Калинин А.В., Калинин В.В., Численные методы решения некоторых обратных задач электрофизиологии сердца, *Дифференц. ур-ния*. 2009. т.45. N 7. с.1014-1022.
- [13] Гаврилов С.В., Денисов А.М., Численные метод определения границы неоднородности в краевой задаче для уравнения Лапласа в кусочно-однородной среде, *Ж. вычисл. матем. и матем. физ.* 2011. т.51. N 8. с.1 - 14.
- [14] Латтес Р., Лионс Ж.-Л., Метод квазиобращения и его приложения, Мир, 1970.
- [15] Козлов В.А., Мазья В.Г., Фомин А.В., Об одном итерационном методе решения задачи Коши для эллиптических уравнений, *Ж. вычисл. матем. и матем. физ.* 1991. т.31. N 1. с.64 - 74.
- [16] Денисов А.М., Захаров Е.В., Калинин А.В., Калинин В.В., Применение метода регуляризации Тихонова для решения обратной задачи электрокардиографии, *Вестник Московского университета, Серия 15, Вычислительная математика и кибернетика*. 2008. N 2. с.5 - 10.
- [17] Dihn Nho Hao, Lesnic D., The Cauchy problem for Laplace's equation using the conjugate gradient method, *IMA J. Appl. Math.* 2000. V.65. p.199-217.